Obr. 1: Uspořádání při měření magnetického pole pomocí měřicí mřížky

Aktivovaný přístroj Somavedic Medic (svítící) vedle měřicího pole (s dřevěnou měřicí mřížkou, vedením a držákem pro měřicí sondu)

A. Měření v geopatogenní zóně

I. Výsledky vyjádřené mapou koherence pole (MKP):

Naměřené hodnoty v mikroteslách (barevné hodnoty dle stupnice), souřadnice v metrech

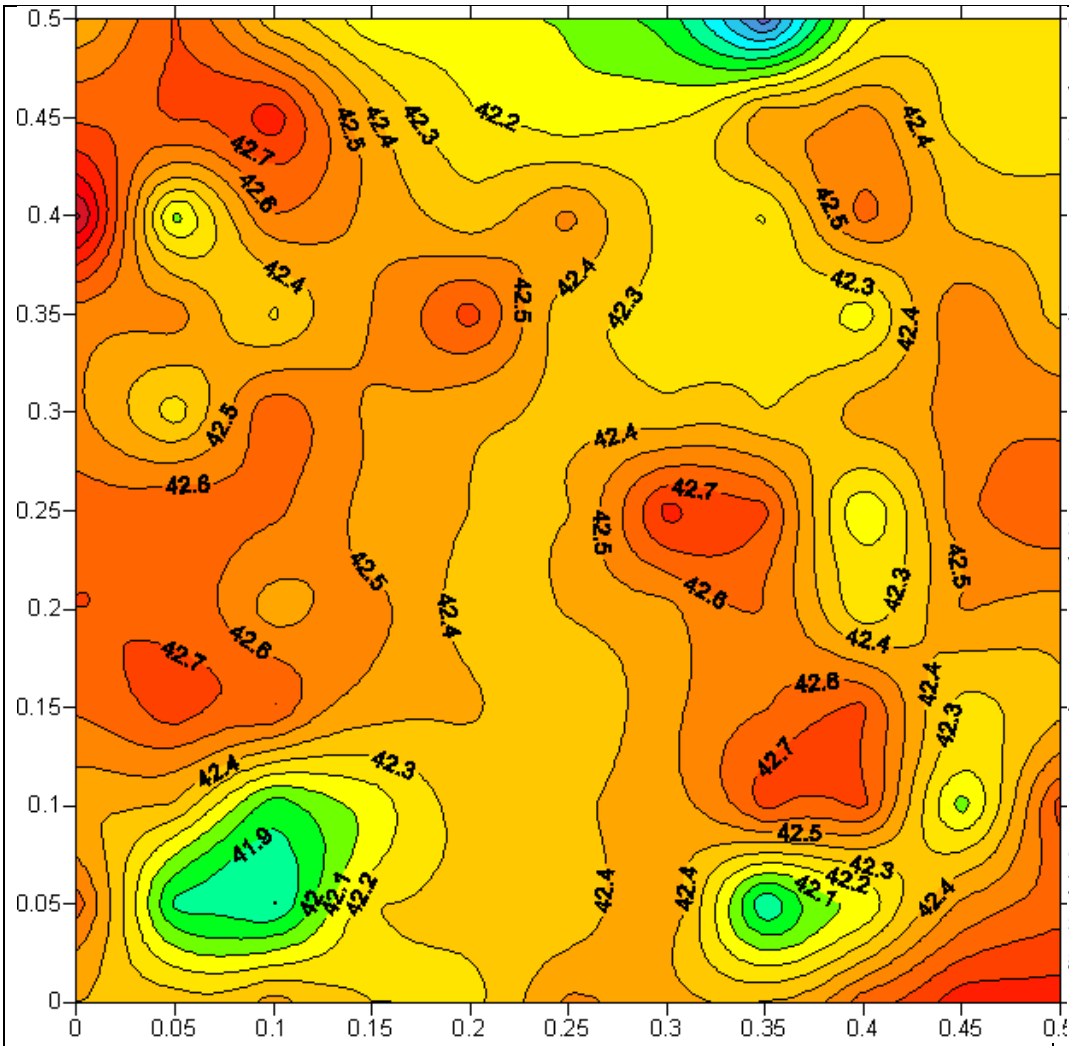

Obr. 2: Měření 1: Výchozí situace

Měření před instalací přístroje Somavedic Medic a jeho uvedením do provozu ukazuje poměrně silné výkyvy vertikální magnetické indukce (mezi 41,4 a 43,2 µT). Přirozená normální hodnota činí asi 42 µT. Zóny se silnými gradienty lze poznat podle linií stejné vertikální indukce ležících těsně vedle sebe. Na přechodu z těchto zón do oblastí s malými gradienty leží zóny biologické dráždivosti.

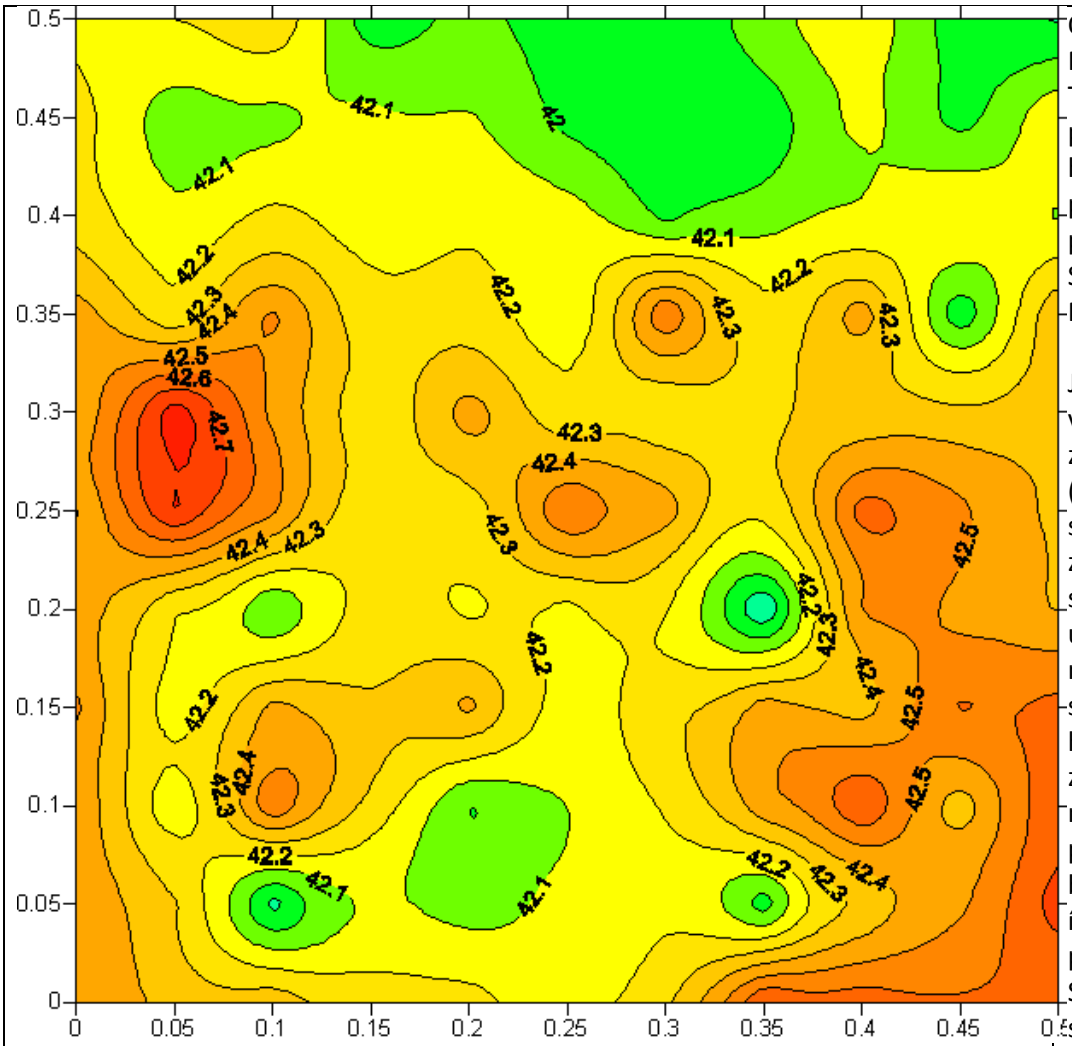

Obr. 3: Měření 2: Test účinků po 24 hodinovém působení přístroje Somavedic Medic

Již celkový vzhled zbarvení (barevná stupnice zůstává stejná) ukazuje na normalizaci situace. Na horním okraji zobrazeného měřicího pole, v bezprostřední blízkosti přístroje Somavedic, se vytvořila přirozená hodnota vertikální magnetické indukce (42 µT, zelená barva). Také zvýšené hodnoty byly, pomineme-li levý okraj, utlumeny na max. 42,6 µT.

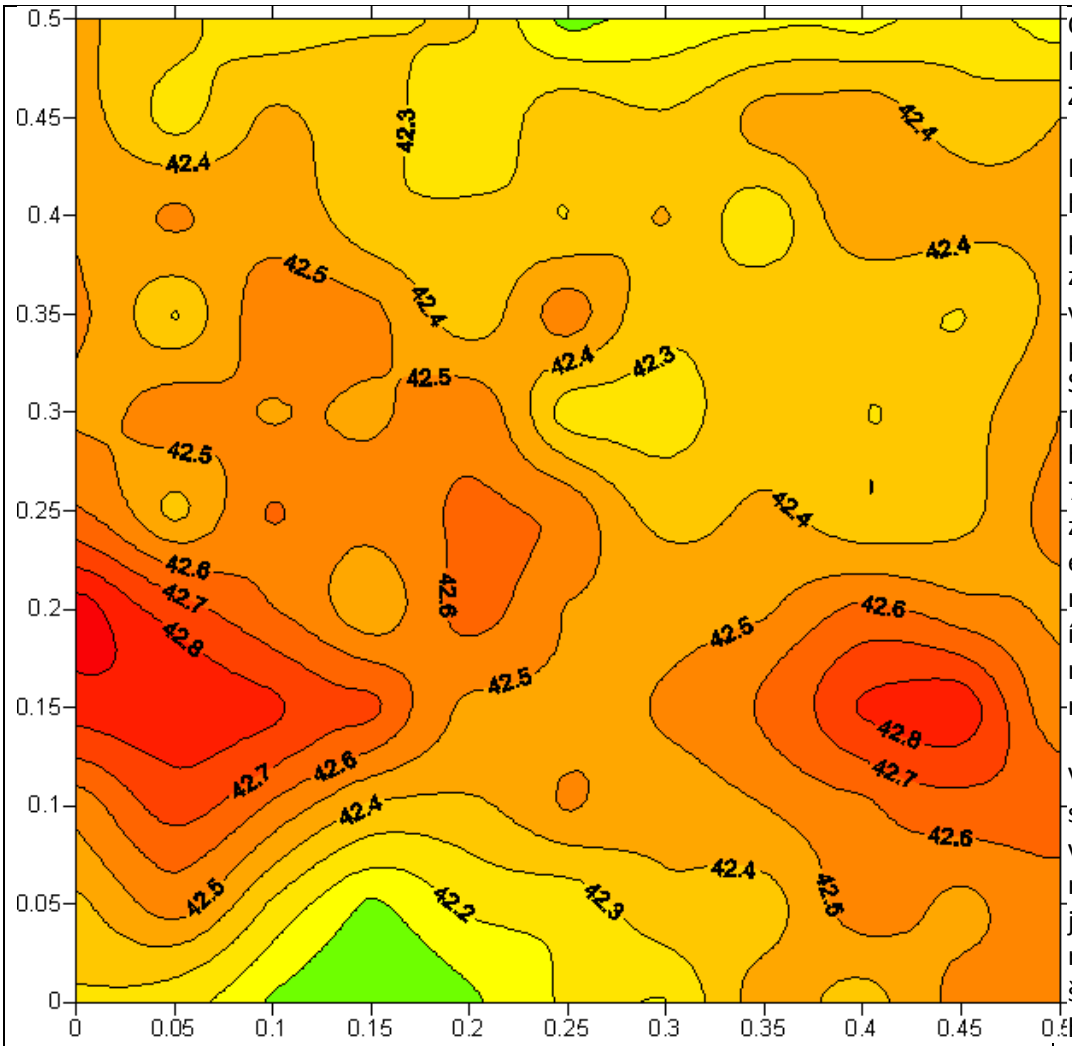

Obr. 4: Měření 3: Zátěžový test

Po 24 hodinovém působení zkušebního vzoru přístroje Somavedic Medic, který byl vystaven 72hodinové zátěži v extrémně nehomogenním magnetickém poli.

V porovnání s měřením 2 vykazuje měřicí pole ještě rovnoměrnější naměřené hodnoty. V horní části pole je opět možné vypozorovat extrémně malé gradienty. Účinnost přístroje Somavedic Medic se tak působením zátěže nijak nesnížila, naopak se dokonce spíše zvýšila.

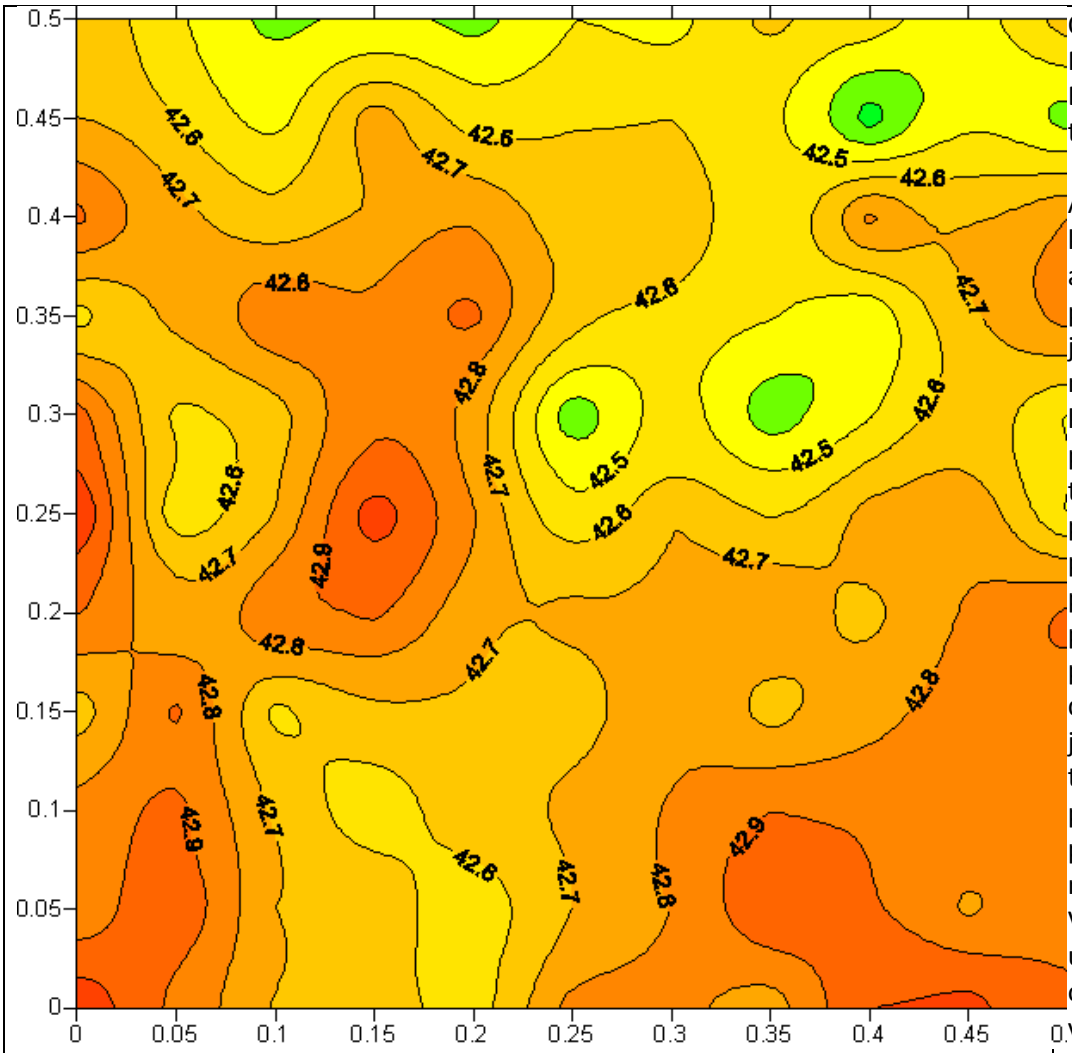

Obr. 5: Měření 4: Dlouhodobý test

Analogicky k měřením 2 a 3 bylo pole podrobeno ještě dalšímu měření, které proběhlo 4 týdny po prvním použití přístroje poté, co přístroj po dobu jednoho týdne bez přerušení působil na měřicí pole. Výsledek ukazuje optimálně vyrovnané pole, nicméně lze na něm pozorovat přirozené rozdíly.

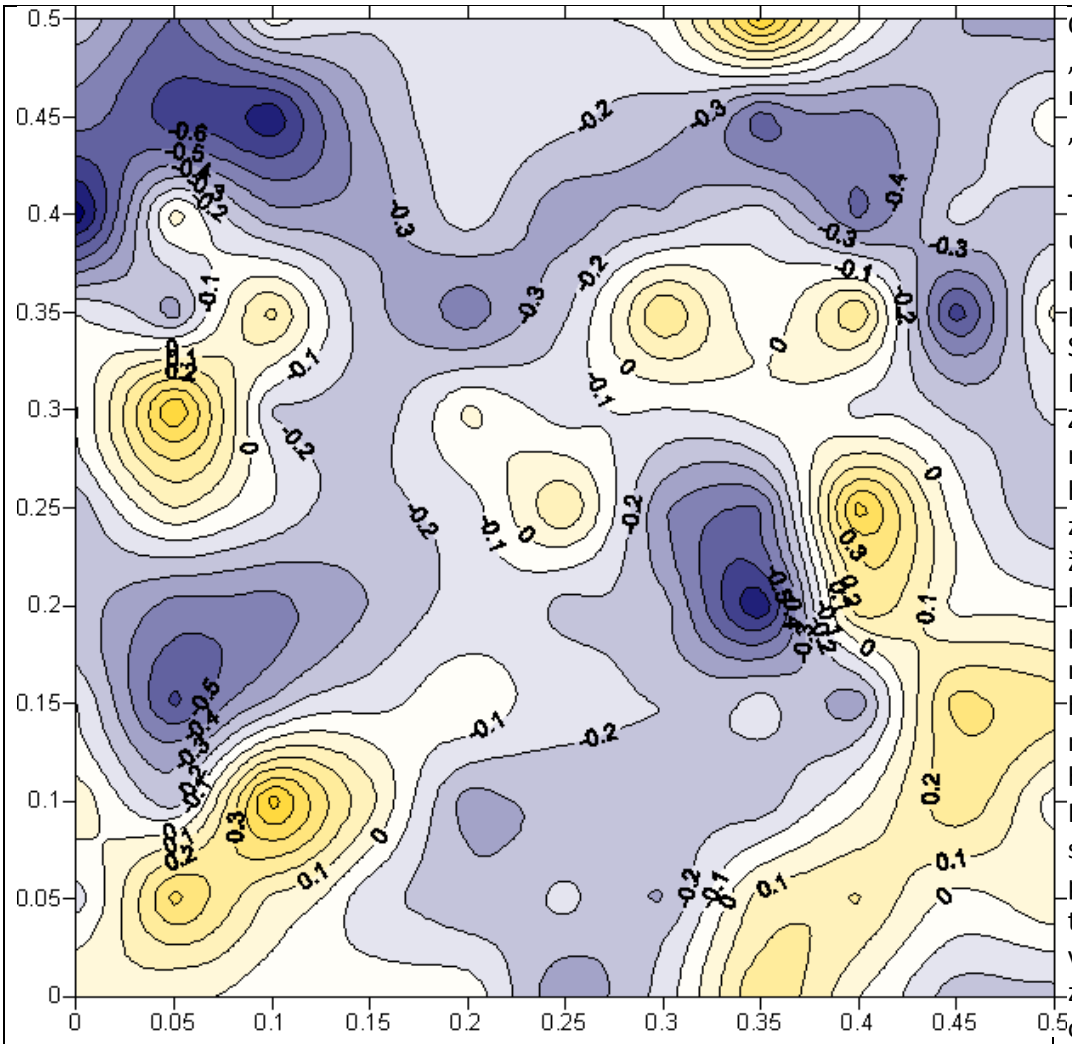

Obr. 6: „Měření 2“ mínus „Měření 1“

Tato mapa ukazuje působení přístroje Somavedic Medic. Zvýšení naměřených hodnot zachycuje žlutou barvou a pokles naměřených hodnot modrou barvou. Hodnoty se snížily především tam, kde byly v Měření 1 zvýšené, a obráceně. Podle toho lze poznat kompenzační účinek přístroje Somavedic. Účinky v řádu desetin mikrotesla jsou signifikantní vůči rozdílové nejistotě ve výši 0,15 µT.

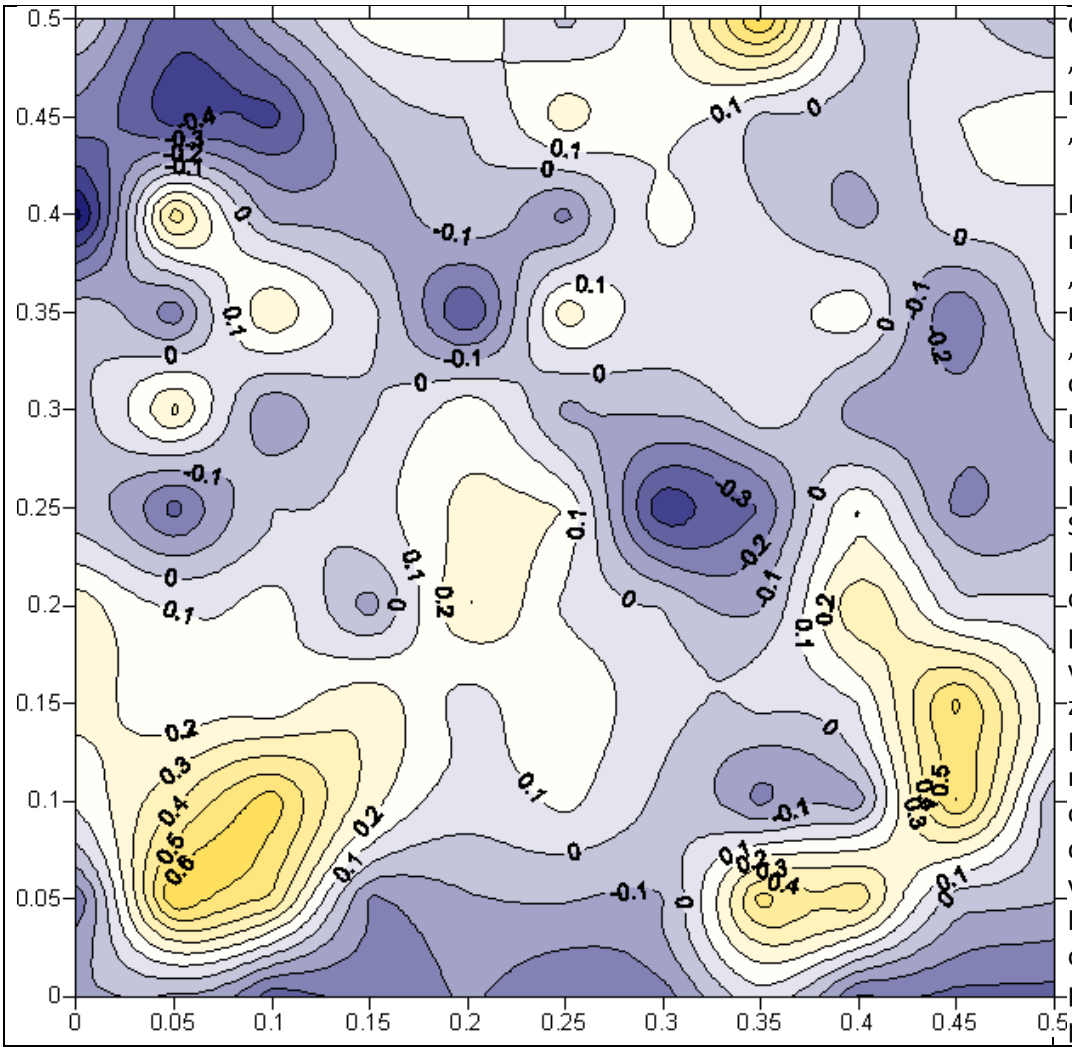

Obr. 7: „Měření 3“ mínus „Měření 1“

Podobnost s rozdílem „Měření 2“ mínus „Měření 1“ opět dokládá nezměněnou účinnost přístroje Somavedic Medic poté, co byl přístroj vystaven zátěži. Drobné rozdíly mezi oběma diferenčními vizualizacemi lze vysvětlit odchylkami přirozených podmínek.

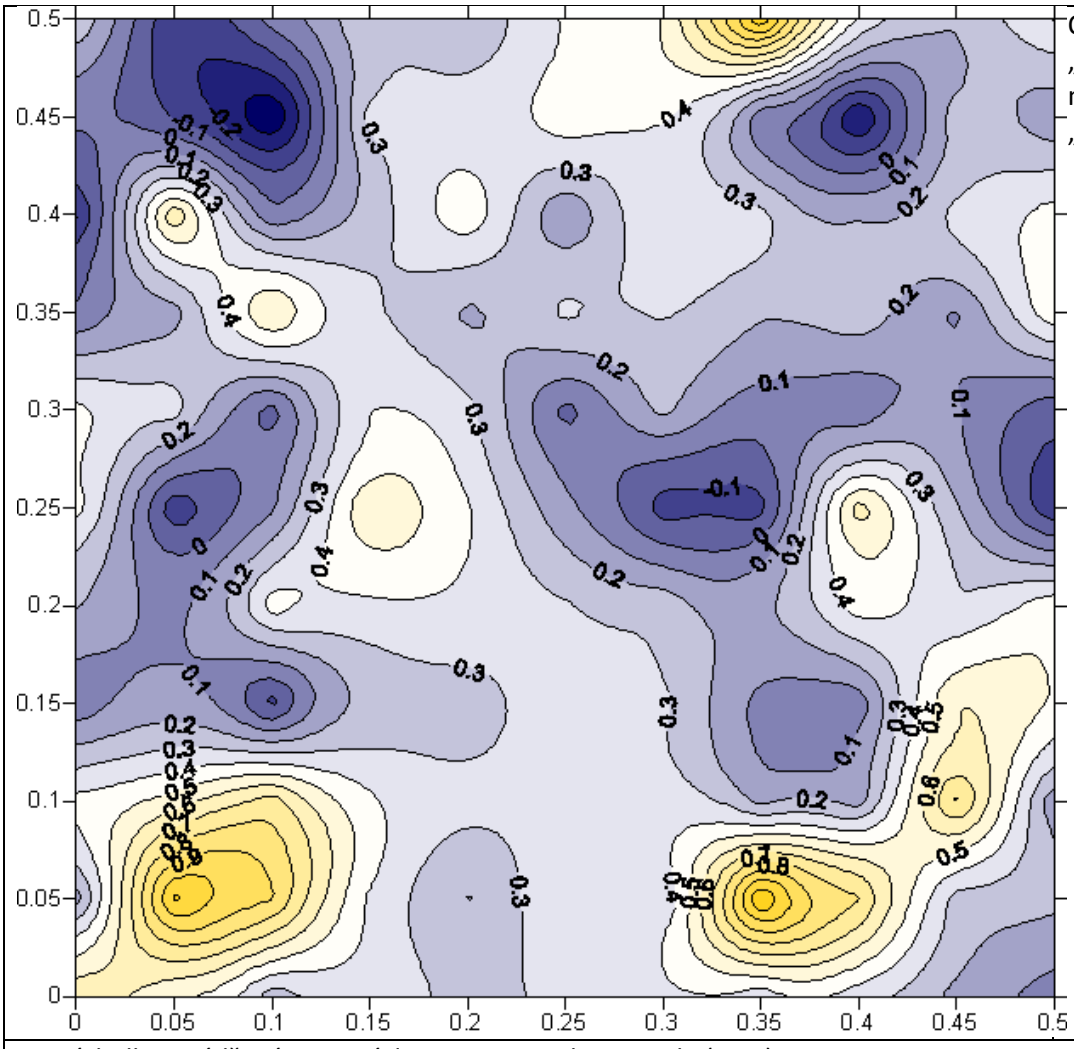

Obr. 8: „Měření 4“ mínus „Měření 1“

III. Výsledky vyjádřené pomocí divergence gradientu pole (DGP):

Následující mapy zobrazují pro každý bod měření vypočítanou míru narušení v mikroteslách/m^2 (barevné hodnoty dle stupnice), souřadnice v metrech. Intenzita poruchy je patrná ze zbarvení bodů měření a z tloušťky barevného kotouče, který je obklopuje.

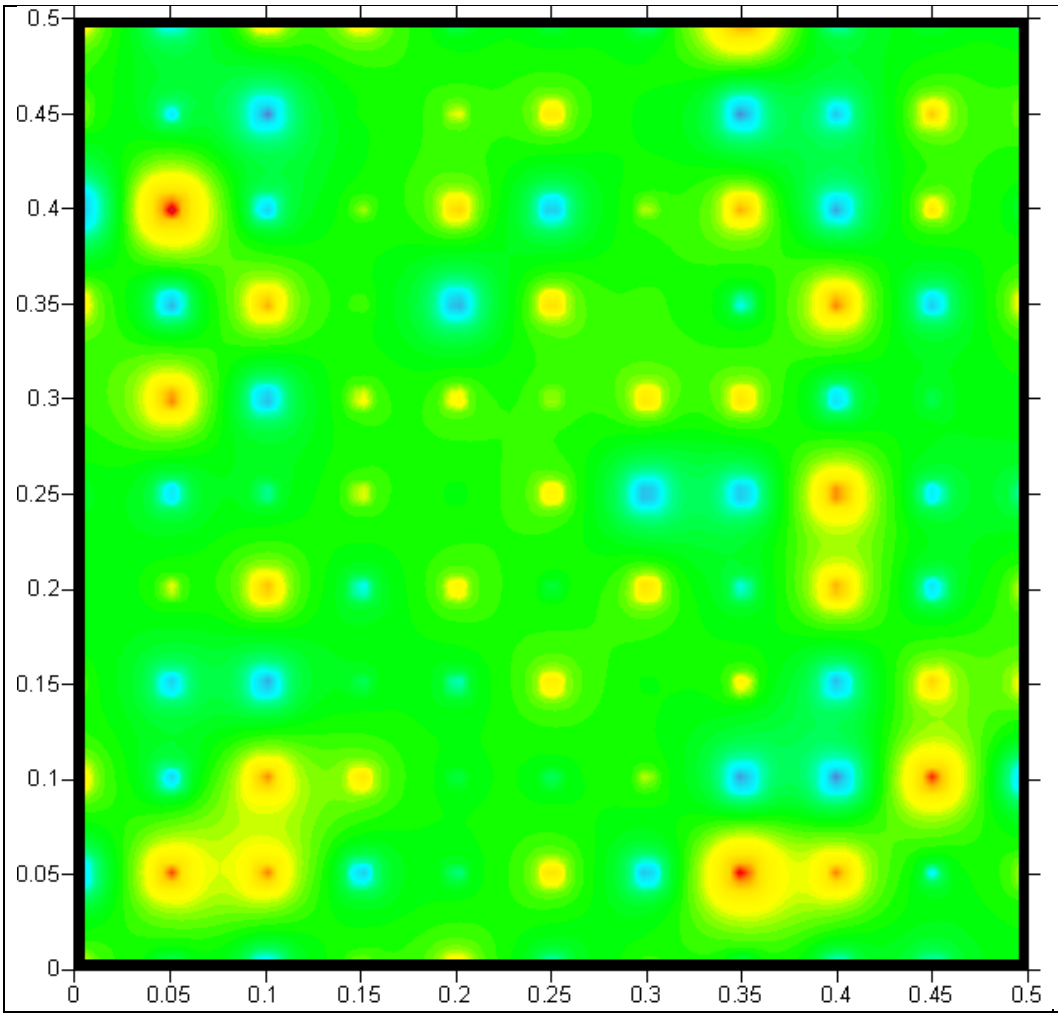

Obr. 9: Měření 1: Výchozí situace

Pole vykazuje některé jednoznačné poruchy, které se spojují do celých zón. S maximy 11 mT/m^2 vznikají dokonce extrémní (>10 mT/m^2), podle našich zkušeností biologicky velmi účinné stupně poruch.

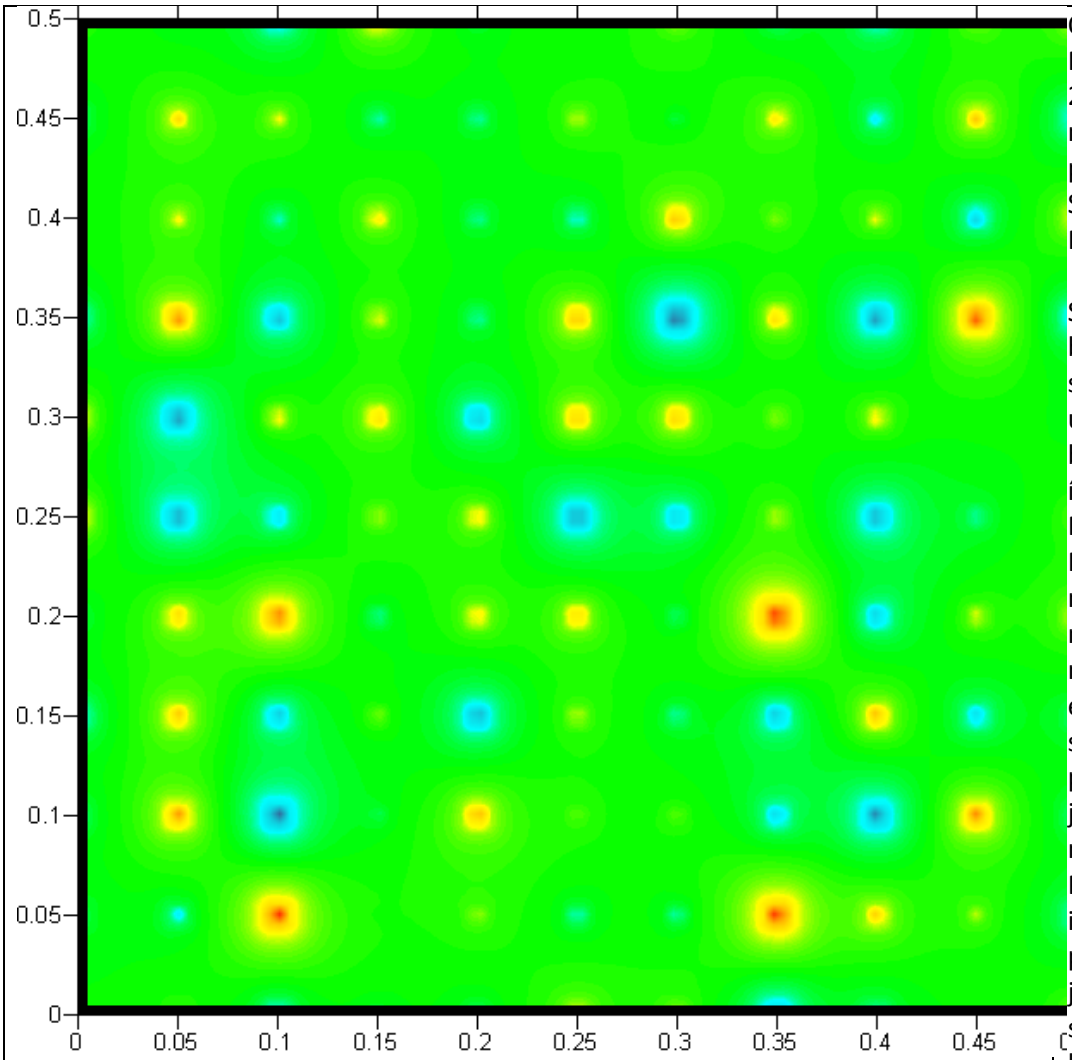

Obr. 10: Měření 2: Po 24hodinovém působení přístroje Somavedic Medic

Stejná barevná stupnice umožňuje bezprostřední srovnání s Měřením 1. Maximální míra poruchy nyní činí 7,3 mT/m^2; extrémní stupně poruchy se již nevyskytují. Počet a intenzita poruch se jednoznačně snížily. V horní oblasti měřicího pole, nejblíže k přístroji Somavedic Medic, lze pole považovat za prakticky bez poruch.

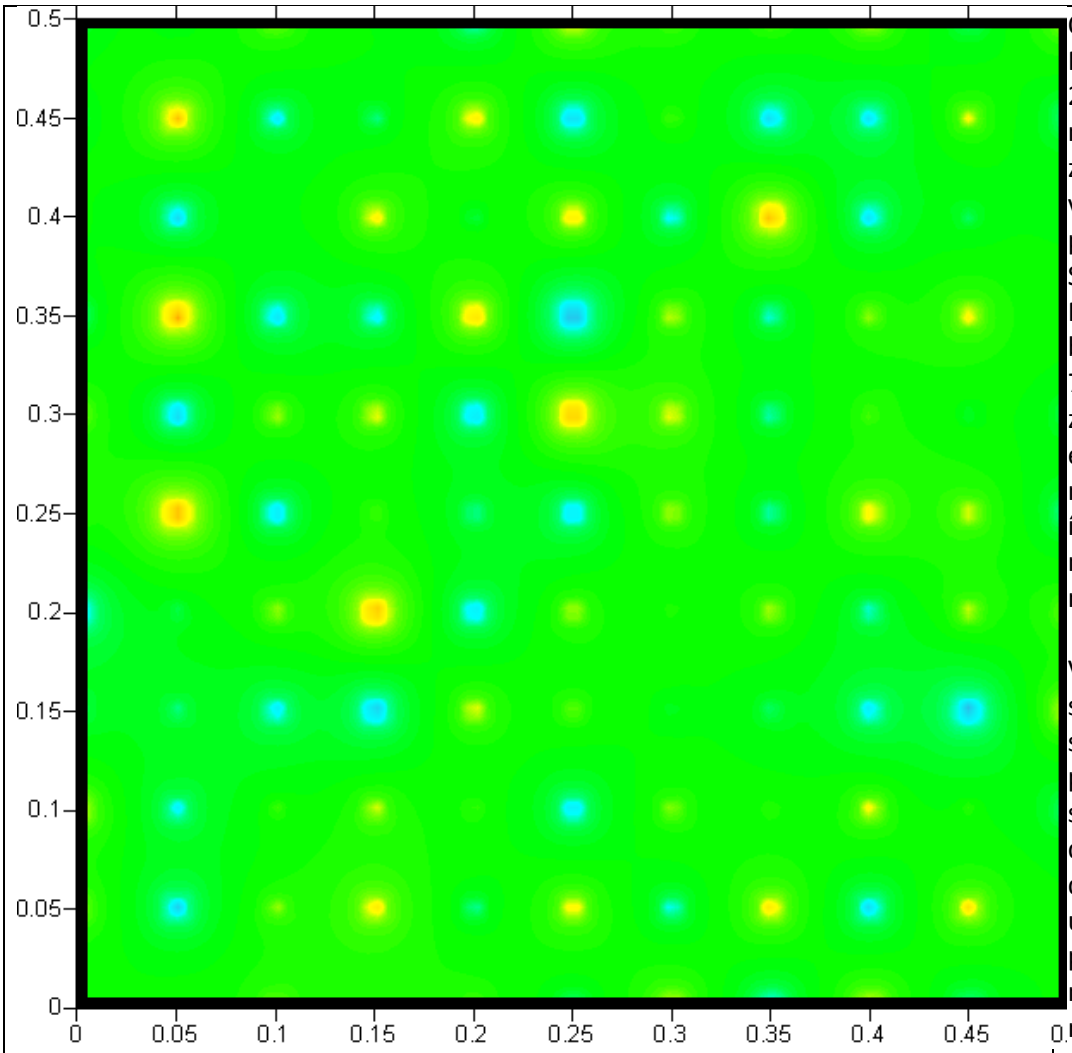

Obr. 11: Měření 3: Po 24hodinovém působení zkušebního vzoru přístroje Somavedic Medic, který byl vystaven 72hodinové zátěži v extrémně nehomogenním magnetickém poli.

V porovnání s měřením 2 se stupně poruch dále snižují. To je definitivní důkaz, že účinnost přístroje nebyla narušena ani zatížením extrémního magnetického pole.

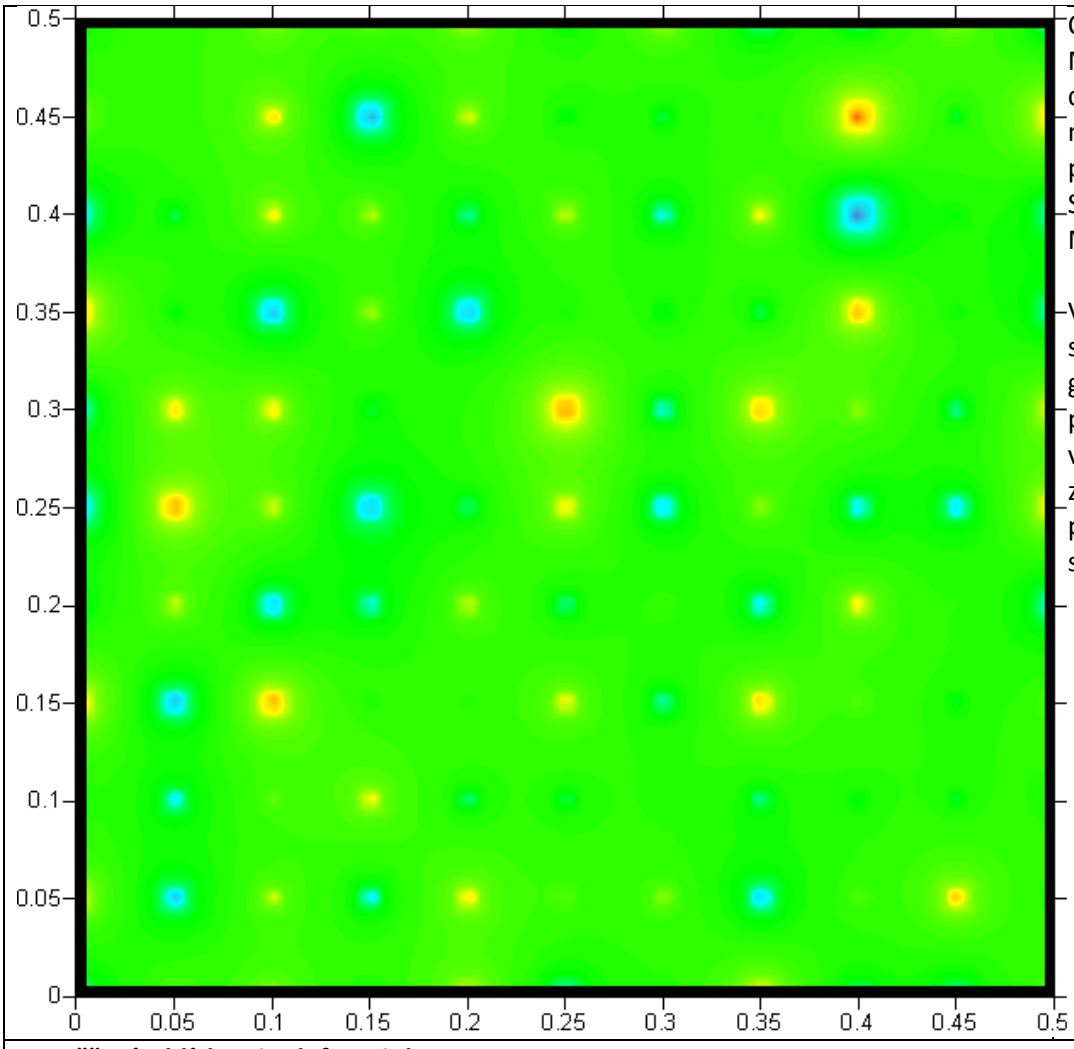

Obr. 12: Měření 4: po dlouhodobém působení přístroje Somavedic Medic

V porovnání s předchozím grafem se počet bodů vykazujících znatelnou poruchu dále snižoval.

B. Měření v blízkosti telefonu iPhone

I. Výsledky vyjádřené mapou koherence pole (MKP):

Naměřené hodnoty v mikroteslách (barevné hodnoty dle stupnice), souřadnice v metrech

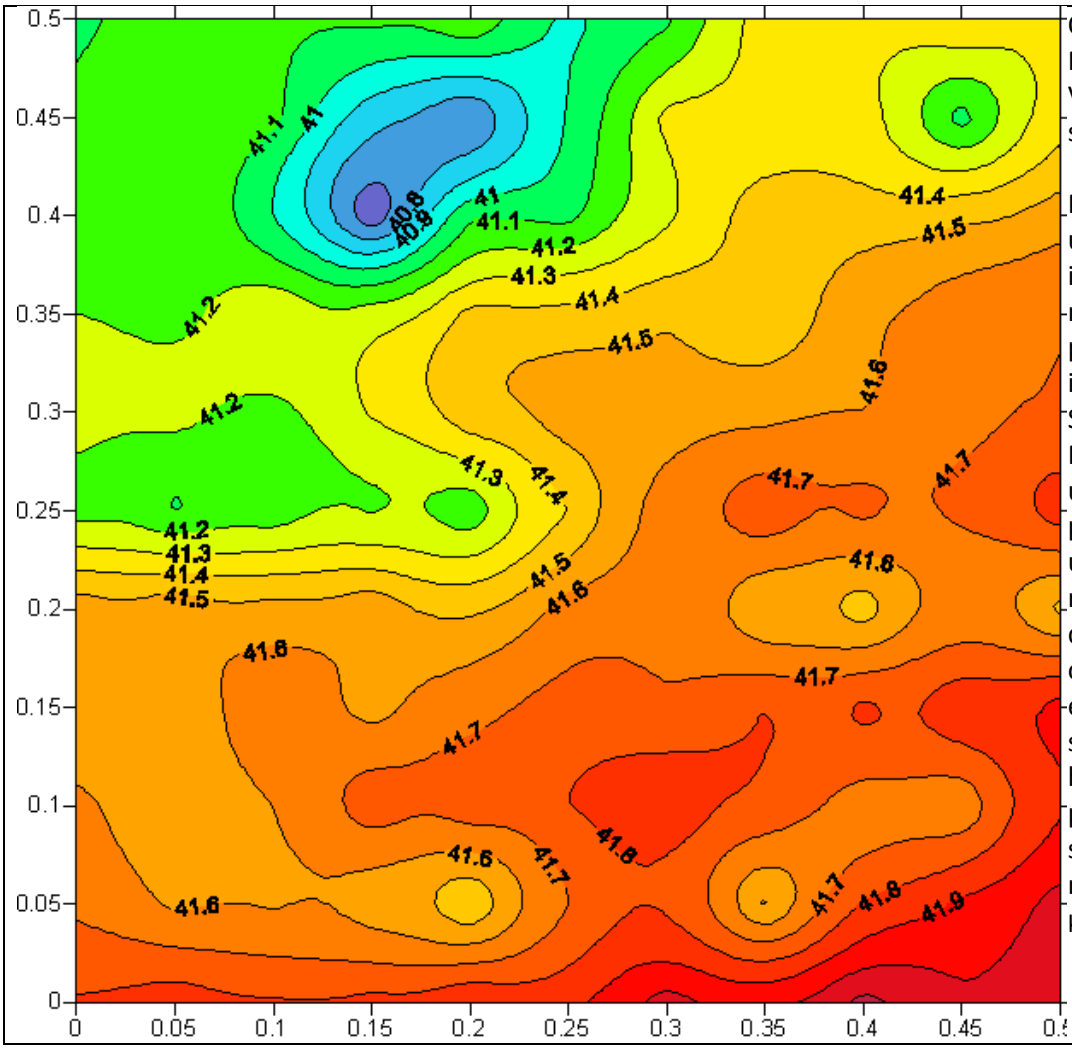

Obr. 13: Měření 1: Výchozí situace

Měření před umístěním iPhonu do měřicího pole a instalací Somavedic Medic a jeho uvedením do provozu ukazuje relativně dobře odstupňované pole s výchozími hodnotami pohybujícími se převážně mezi 41 a 42 µT.

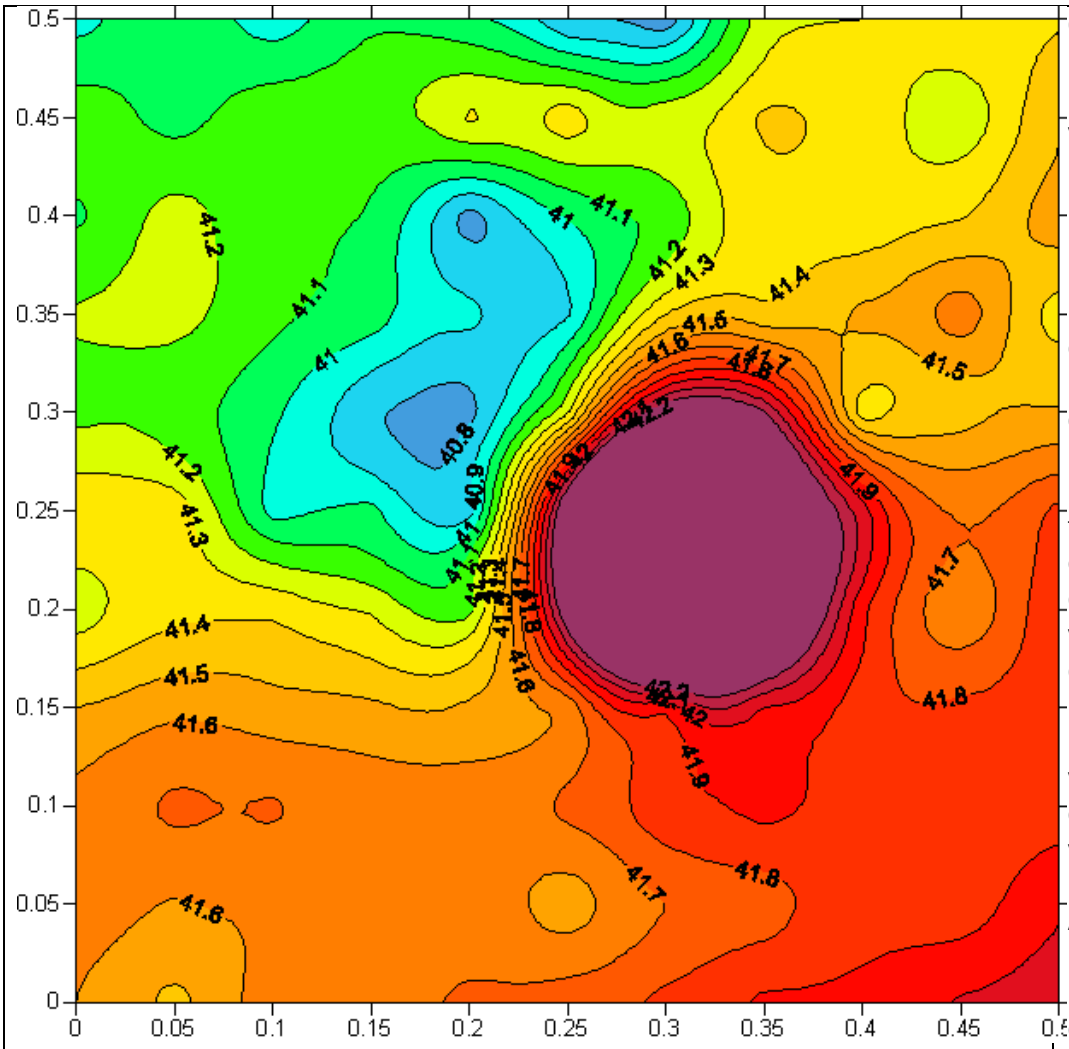

Obr. 14: Měření 2: iPhone v měřicím poli

Po umístění iPhonu bezprostředně pod prostřední část měřicího pole a po navázání telefonického spojení dochází v bezprostřední blízkosti nad iPhonem k silným výkyvům oproti výchozím hodnotám. Aby bylo možno barevně odstupňovat hodnoty v o něco větší vzdálenosti od mobilního telefonu, nebyly vyznačeny hodnoty > 42.2 µT. Situace, která vznikla v okolí iPhonu, se při telefonování přenáší i na uživatele iPhonu do jeho hlavy.

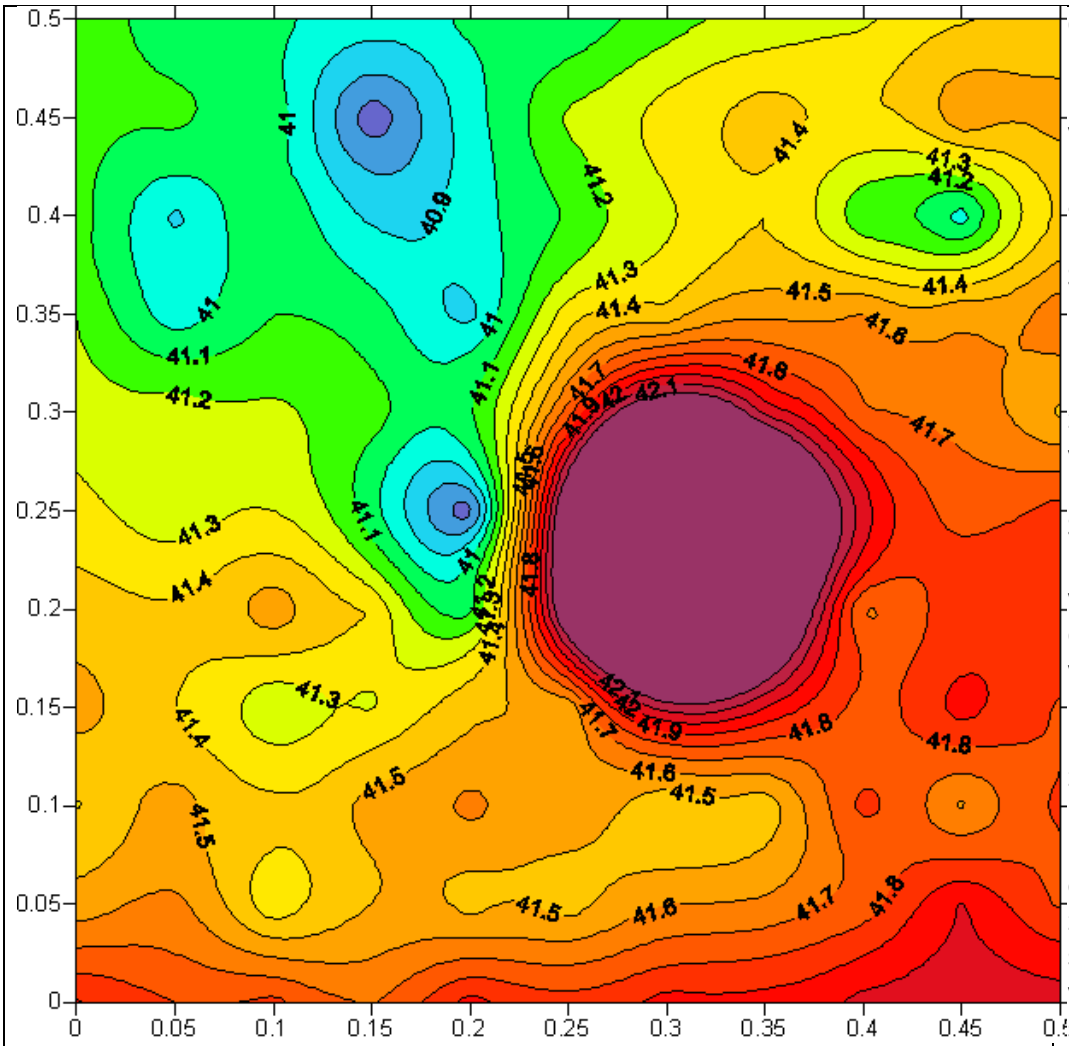

Obr. 15: Měření 3: iPhone v měřicím poli, aktivovaný přístroj Somavedic Medic

Po aktivaci zkušebního vzoru přístroje Somavedic Medic v bezprostřední blízkosti vedle měřicího pole bylo zopakováno měření popsané u obr. 13. Již zběžné srovnání výsledků s výsledky obou předchozích měření ukazuje, že se situace v okolí mobilního telefonu opět výrazně přiblížila výchozí situaci (obr. 13).

II. Rozdíl naměřených hodnot:

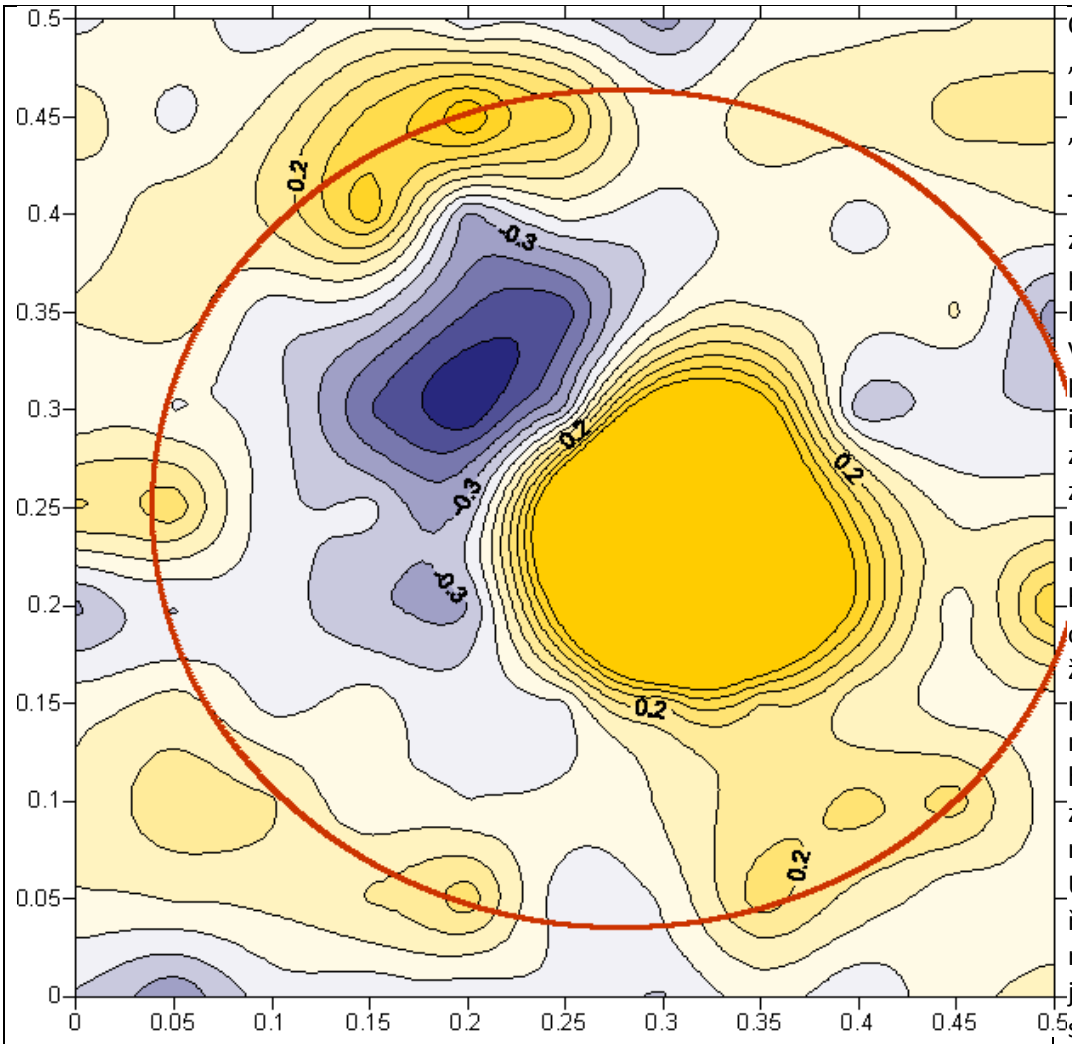

Obr. 16: „Měření 2“ mínus „Měření 1“

Tento graf zachycuje poruchy, které v poli vyvolává používání iPhonu. Je zde znázorněn nárůst naměřených hodnot označených žlutě a pokles naměřených hodnot značených modře. Účinky v řádu desetin mikrotesla jsou signifikantní vůči rozdílové nejistotě ve výši 0,15 µT. Červená čára propojuje poruchy, které se objevují v okruhu vysílajícího iPhonu.

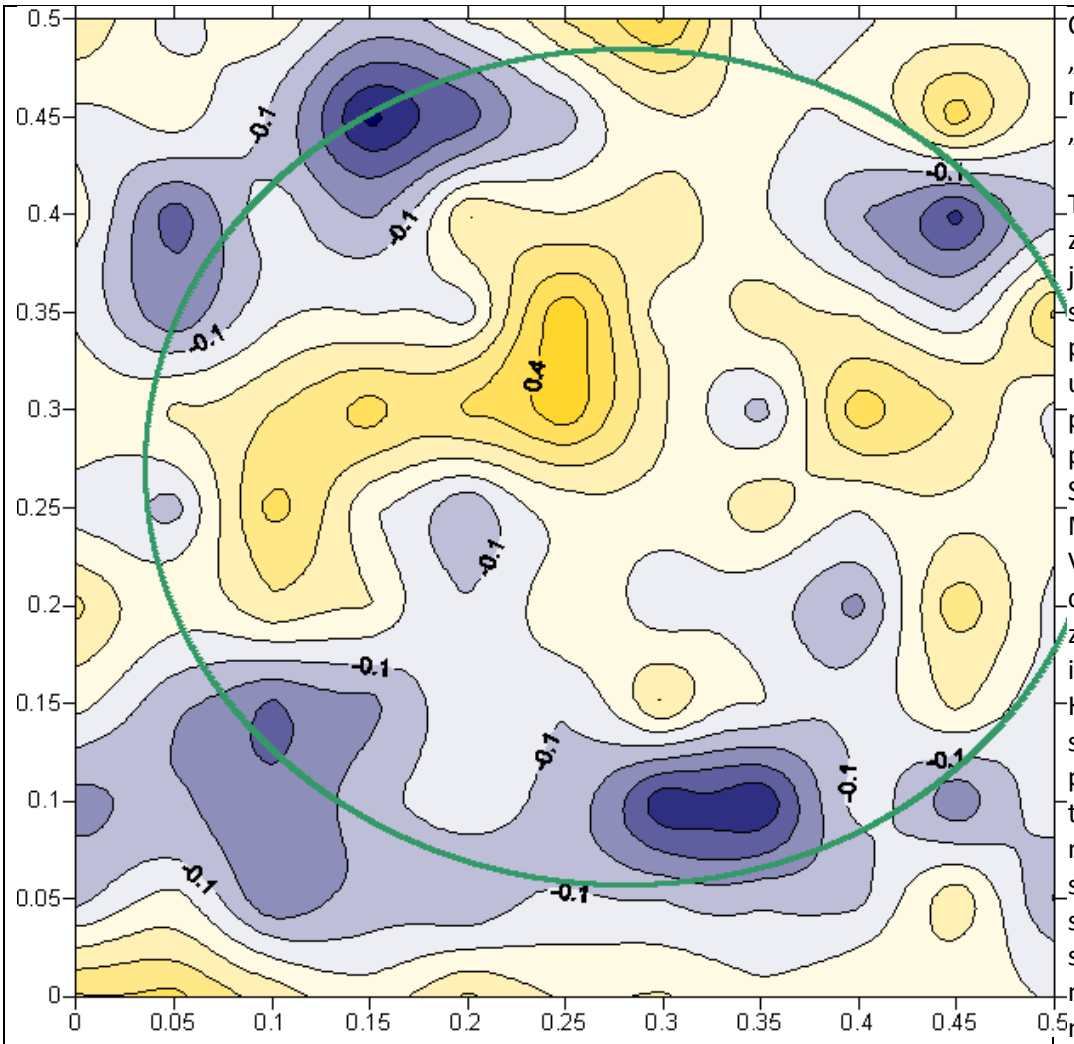

Obr. 17: „Měření 3“ mínus „Měření 2“

Tento graf znázorňuje, jaké změny se docílí poté, co je uveden do provozu přístroj Somavedic Medic. V provozu po celou dobu zůstává také iPhone. Hodnoty se snížily především tam, kde při měření 2 ve srovnání s výchozí situací narostly, a naopak (především v kruhu s vyskytujícími se poruchami, který je nyní označen zeleně). Tím je prokázán vyrovnávací účinek, který přístroj Somavedic má na provoz iPhonu, oproti prostředí, které pomocí přístroje Somavedic harmonizováno nebylo.

III. Výsledky vyjádřené pomocí divergence gradientu pole (DGP):
Vysvětlivky viz oddíl A. III.

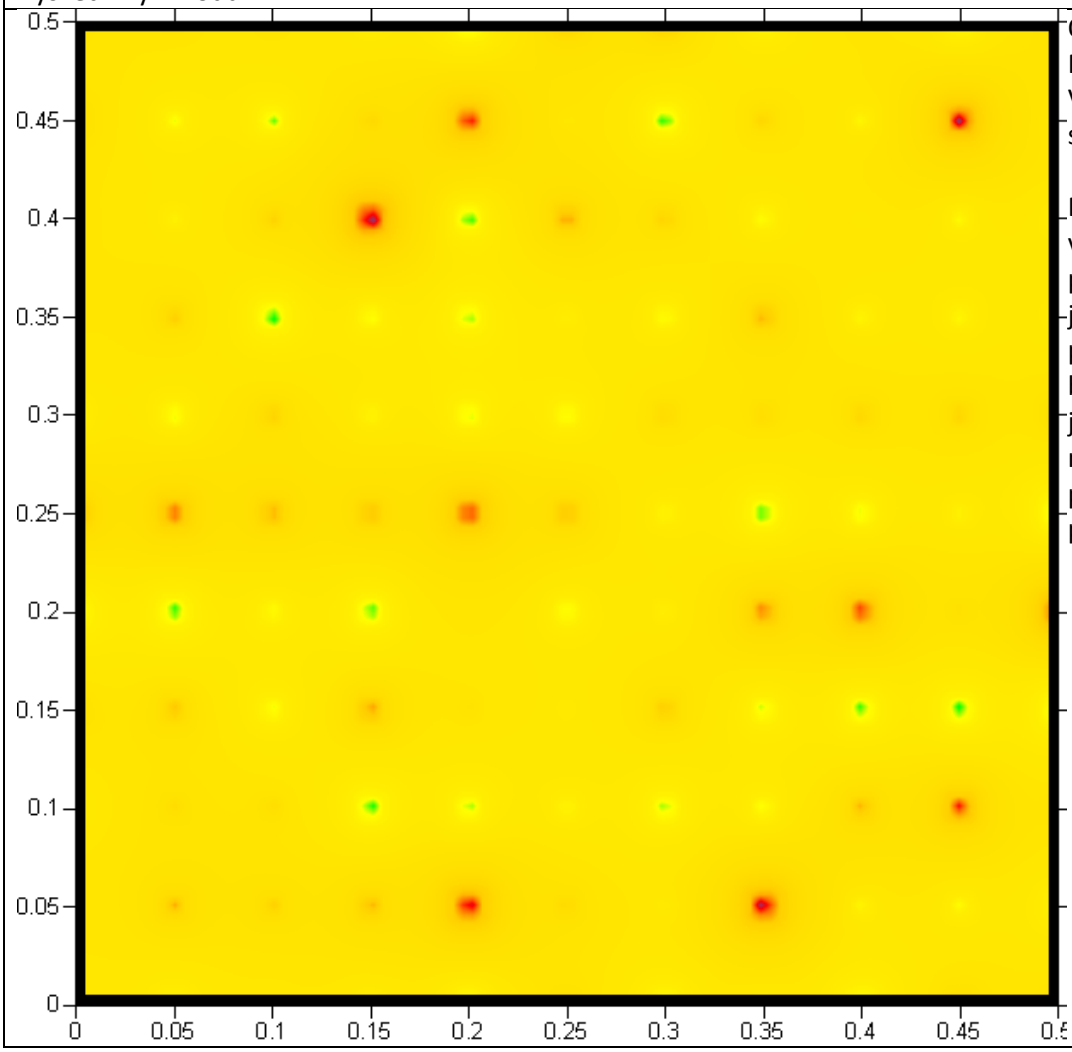

Obr. 18: Měření 1: Výchozí situace

Pole vykazuje pouze jednotlivé poruchové body, které jsou patrné na jinak málo poruchovém poli.

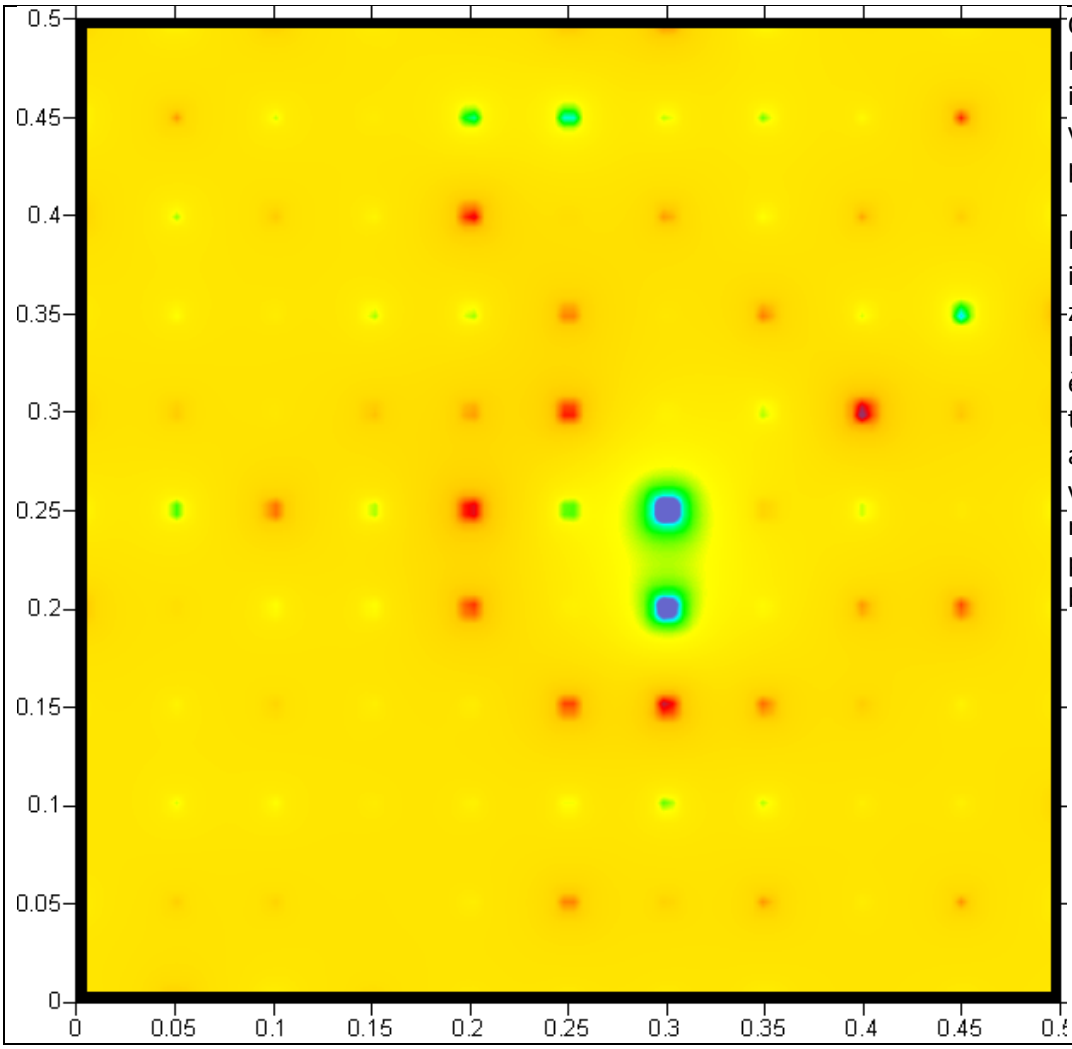

Obr. 19: Měření 2: iPhone v měřicím poli

Provoz iPhonu zapříčiní bezprostředně nad telefonem, ale také v jeho okolí, markantní poruchové body.

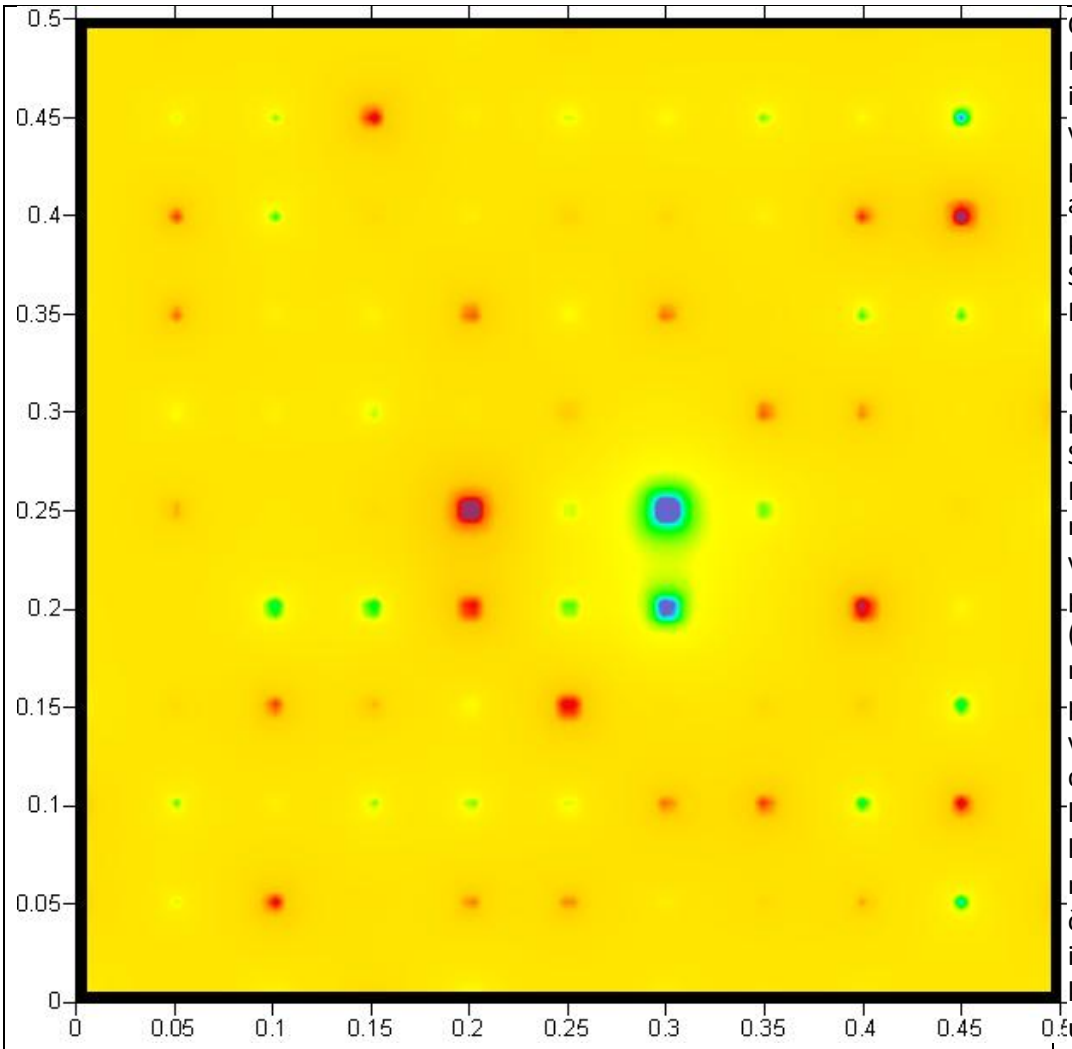

Obr. 20: Měření 3: iPhone v měřicím poli, aktivovaný přístroj Somavedic Medic

Účinek přístroje Somavedic Medic napomáhající vyrovnání pole („harmonizační účinek“) je patrný v tom, že dochází jak ke kvantitativnímu (co do četnosti), tak i ke kvalitativnímu (co do intenzity) úbytku poruchových míst.

C. Měření v osobním automobilu (Ford Fiesta)

I. Výsledky vyjádřené mapou koherence pole (MKP, vysvětlivky viz A.I.):

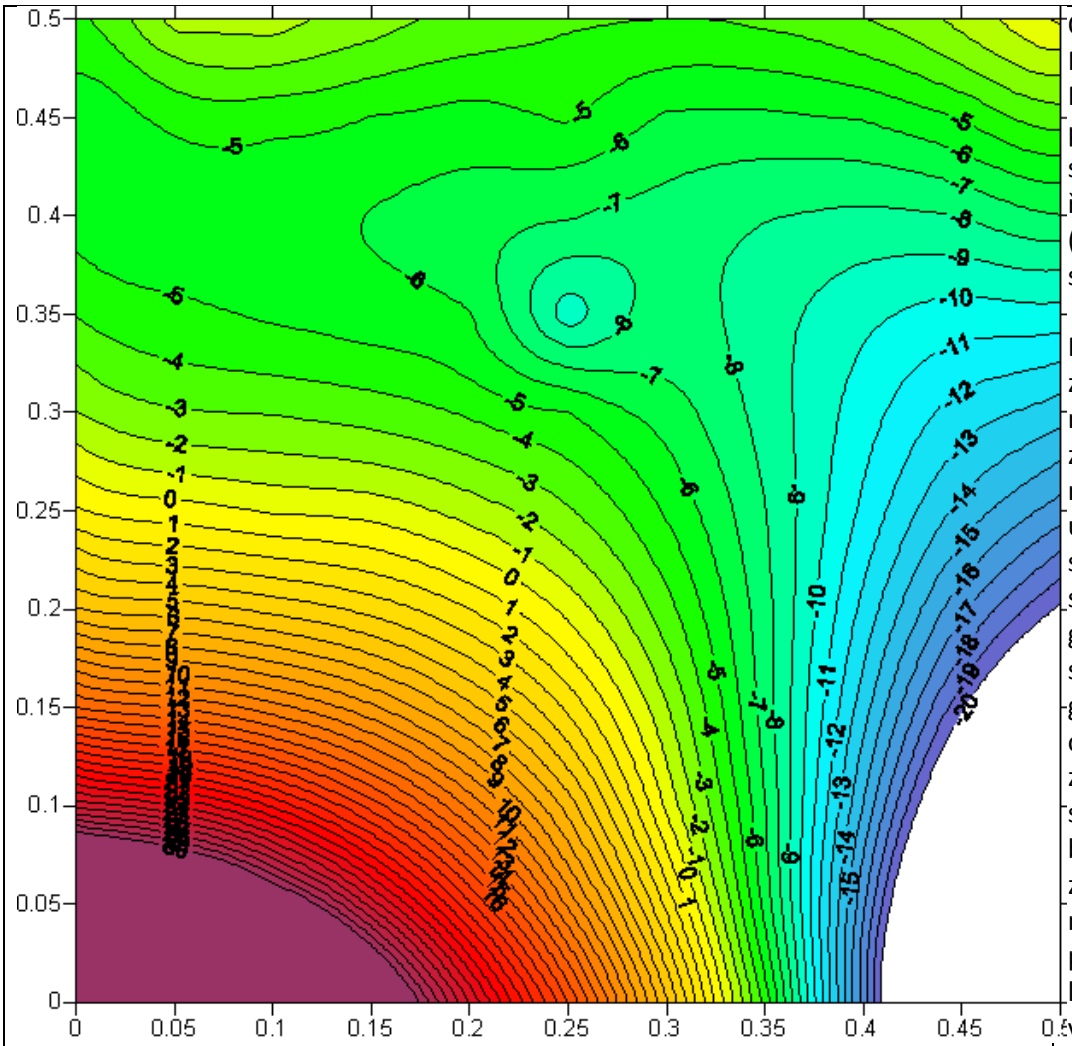

Obr. 21: Měření 1: Magnetické pole nad sedadlem řidiče (výchozí situace)

Měření po zažehnutí motoru bez zařazení rychlosti ukazuje pole s velmi silnými gradienty ve spodní části grafu, která odpovídá zadní části sedadla. Dále byl zaznamenán nepravidelný průběh kontur v horní polovině grafu (což odpovídá přední části sedadla). Nápadnou anomálii vykazují především souřadnice x = 0.25; y = 0.35.

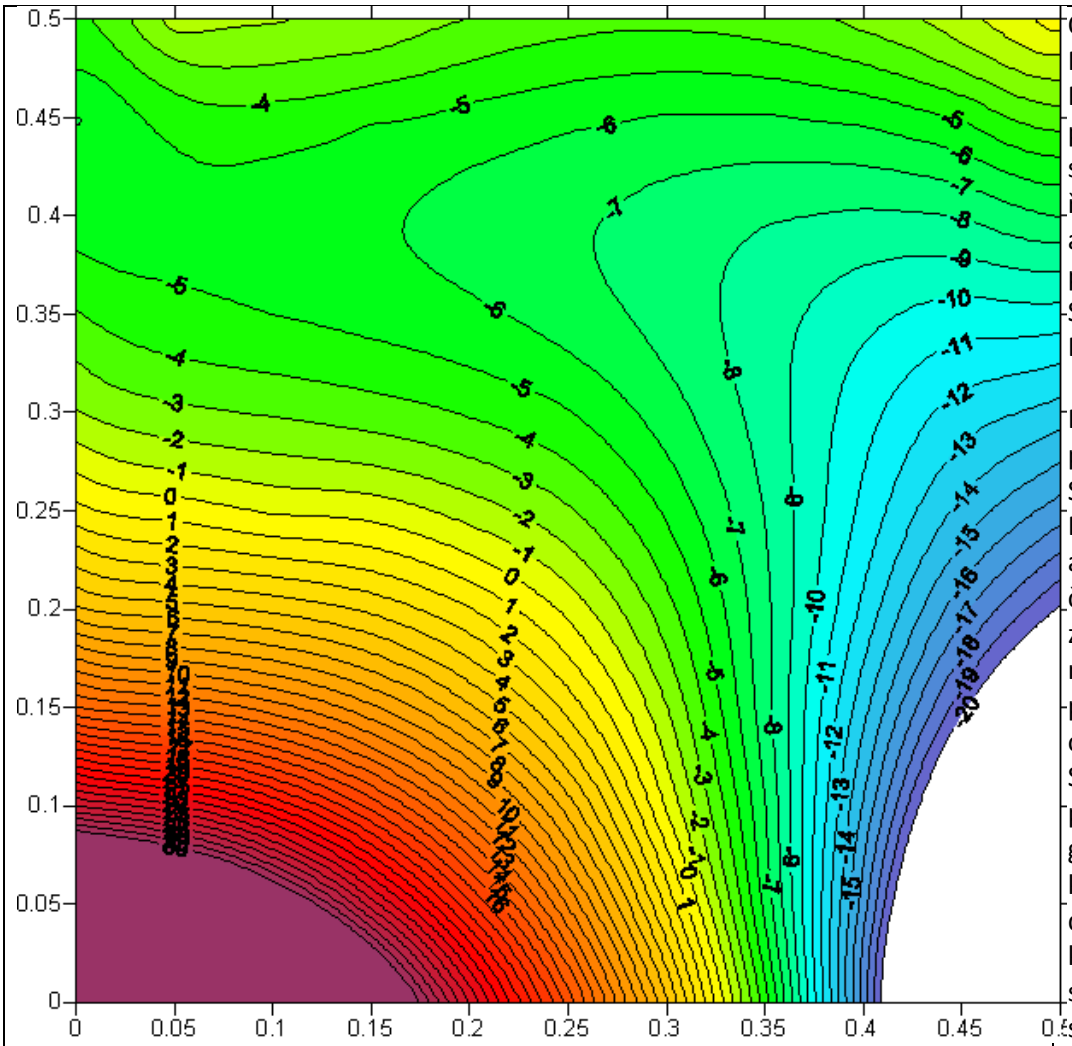

Obr. 22: Měření 2: Magnetické pole nad sedadlem řidiče po aktivaci přístroje Somavedic Medic

Po zapojení přístroje Somavedic Medic do autozapalovače bylo zopakováno měření popsané u obr. 21. Silným postranním gradientům, které jsou dány konstrukcí sedačky a sousedních autodílů, nelze z podstaty věci zabránit. V přední části sedačky (horní polovina grafu) však stojí za povšimnutí pravidelně probíhající kontury.

III. Výsledky vyjádřené pomocí divergence gradientu pole (DGP, viz oddíl A. III.)):

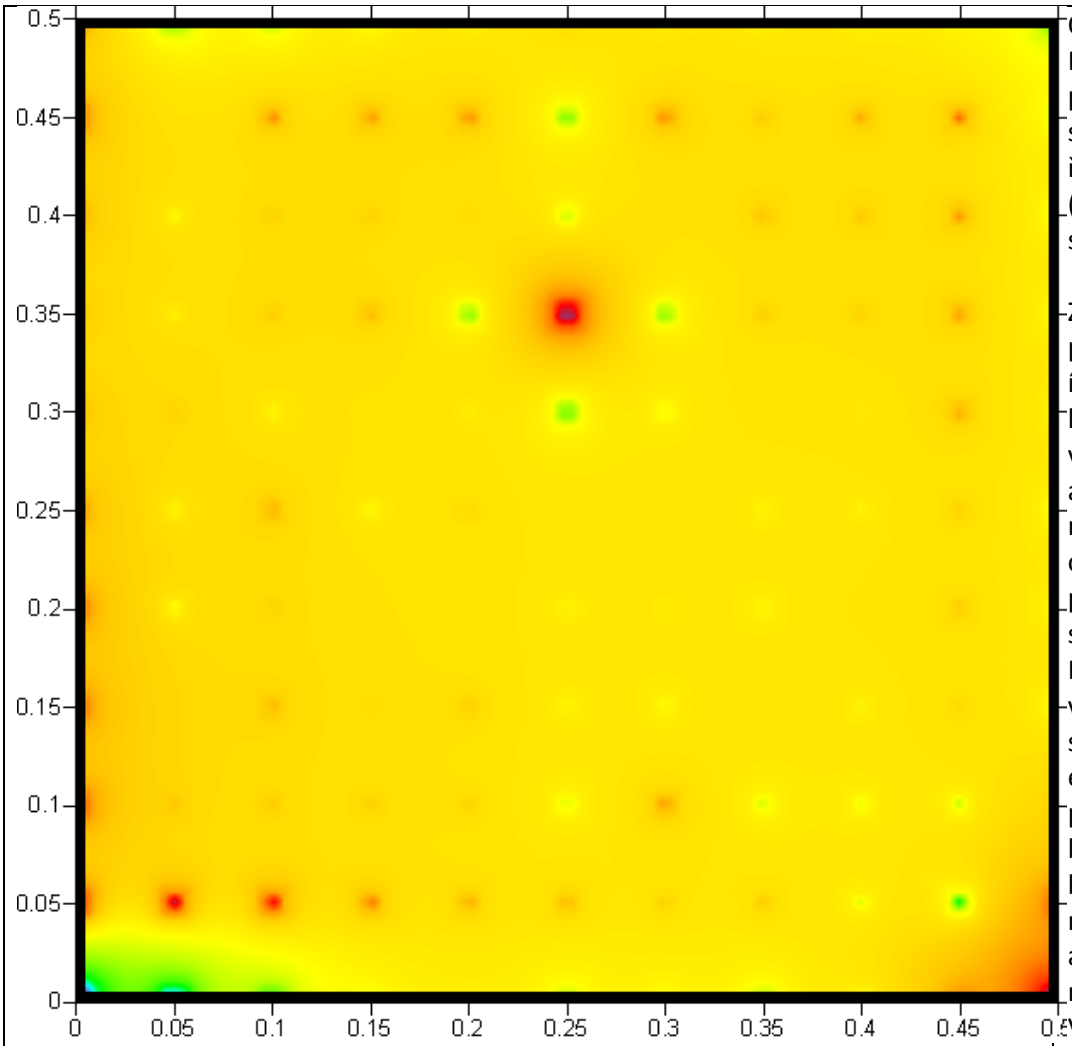

Obr. 23: Magnetické pole nad sedadlem řidiče (výchozí situace)

Znázornění prostřednictvím DGP dává lépe vyniknout anomálii magnetického pole na přední části sedačky. Delší pobyt v místě s těmito extrémně poruchovými body může být velmi nepříjemný až zdravotně rizikový. Vyskytující se porucha o síle 30 mT/m/m je klasifikována jako extrémní.

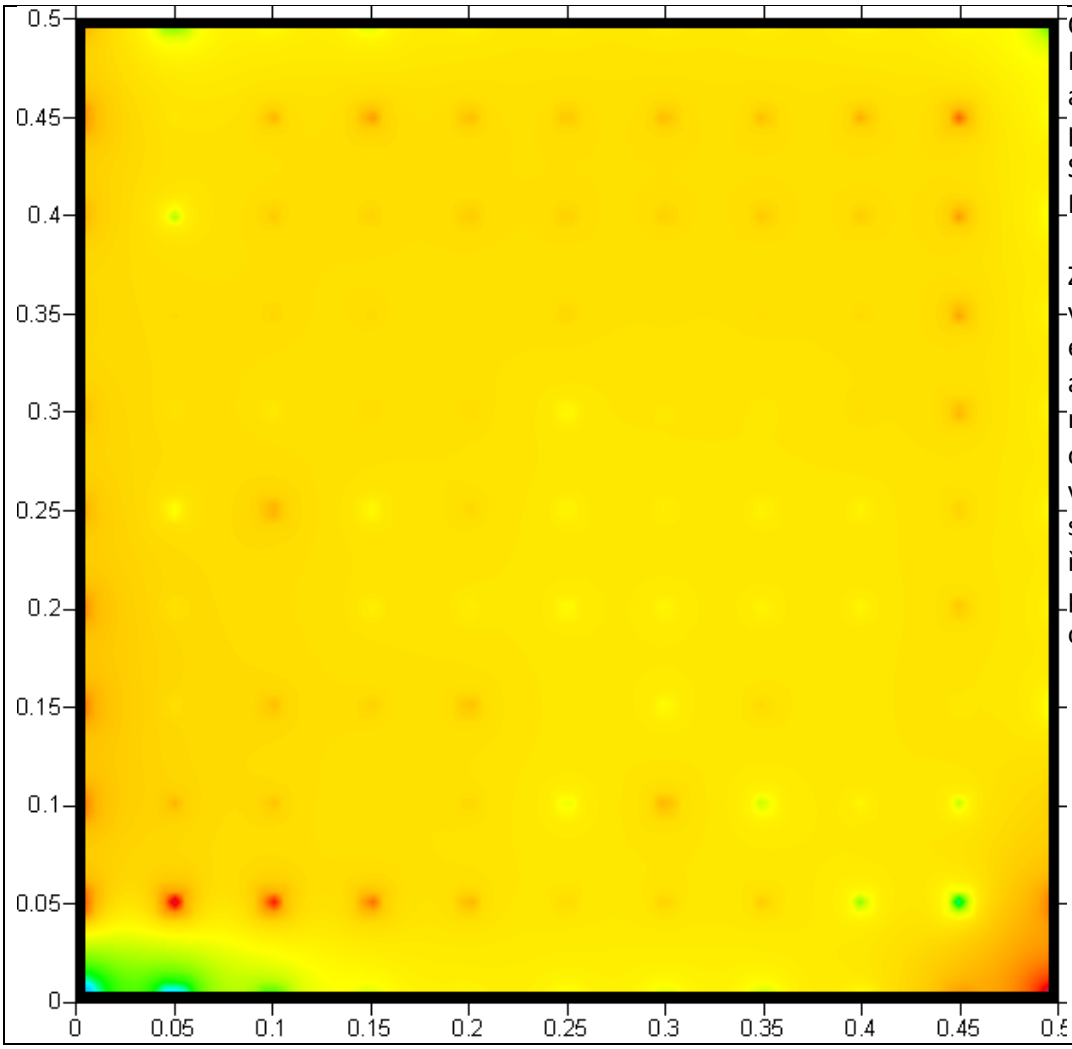

Obr. 24: Měření 2: po aktivaci přístroje Somavedic Medic

Z grafu jasně vyplývá, že extrémní anomálie magnetického pole v oblasti sedadla řidiče byla plně odstraněna.